

# طراحی روشی جهت کاهش نقطه‌ی شبنم هوای ابزار دقیق

## خشنک

یوسف زینالی<sup>i</sup>، فتح‌الله فرهادی<sup>ii</sup>

### چکیده

واحدهای هوای ابزار دقیق با استفاده از فرایندهای متناول در جذب سطحی، نظیر فرایندهای فشارجاروبی و دما جاروبی، رطوبت موجود در جریان هوا را حذف کرده و هوایی با مشخصات نقطه شبنم پایین برای استفاده در تجهیزات کنترلی و آنالیزورها تولید می‌کند.

در این مقاله، ستون‌های جذب سطحی واحد هوای ابزار دقیق فاز ۱ پارس جنوبی که از فرایند فشارجاروبی برای تولید هوای خشک استفاده می‌کنند شبیه‌سازی شده و عملکرد آن‌ها بررسی شده است. مشخصه نقطه شبنم ستون‌های طراحی شده،  $-20^{\circ}\text{C}$  است. برای رسیدن به نقطه شبنم پایین‌تر از  $-70^{\circ}\text{C}$  که مورد نیاز واحد است، استفاده از ستونی با دو لایه جاذب متفاوت پیشنهاد و رفتار چرخه جذب ستون پیشنهادی شبیه‌سازی شده است. بر اساس این پیشنهاد، طراحی بستری با دو لایه آلومینا و زئولیت به خوبی می‌تواند چنین نیازی را برآورده سازد.

### کلمات کلیدی

هوای ابزار دقیق، جذب سطحی، فرایند فشارجاروبی، شبیه‌سازی چرخه جذب، نقطه شبنم.

## Design a Method to Reduce the Instrument Air Dew Point

Yousef Zeinaly, Fatollah Farhadi

### ABSTRACT

Instrument air plants produce dry air with low dew point using different adsorption processes such as PSA and TSA. This air is utilized in analyzers and control devices.

In this study, the instrument air plant of South Pars Phase 1 is simulated and its performance is evaluated. Design specification of these columns is to produce dry air with dew point of  $-20^{\circ}\text{C}$ . To achieve lower desired dew points of  $-70^{\circ}\text{C}$ , a two layer beds is suggested and simulated. A column with two different adsorbent of Alumina and Zeolite is simulated and its performance is evaluated.

### KEYWORDS

Instrument air, 2- Adsorption, 3- Pressure swing adsorption, 4- Adsorption cycle simulation, 5- Dew point.

شده است. این واحد دارای دو کمپرسور اسکرو، دو ستون

### ۱- مقدمه

جذب و فیلترهایی قبل و بعد از ستون‌ها می‌باشد. هوای

واحد تولید هوای ابزار دقیق فاز یک مجتمع پالایشگاهی متراکم پس از عبور از فیلترها وارد ستون‌های جذب شده و رطوبت خود را از دست می‌دهد. پارس جنوبی توسط شرکت AirPack طراحی و ساخته

<sup>i</sup> دانشجوی کارشناسی ارشد دانشکده مهندسی شیمی و نفت، دانشگاه صنعتی شریف، Email: yousef.zeinaly@yahoo.com

<sup>ii</sup> دانشیار دانشکده مهندسی شیمی و نفت، دانشگاه صنعتی شریف، Email: fatfarhadi@yahoo.com

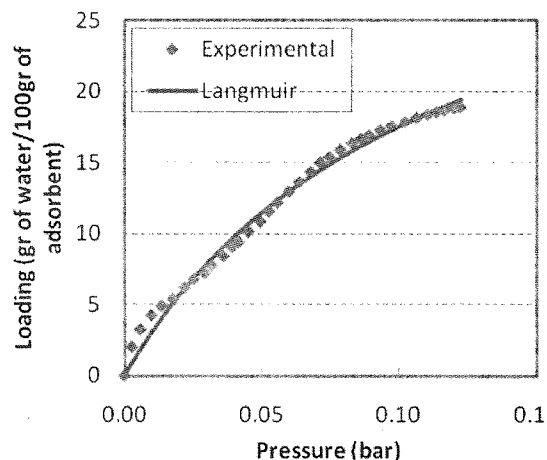
اعمال تغییرات در ستون‌ها از یکی از مژول‌های بسته نرم‌افزاری ASPEN به نام ADSIM استفاده و خروجی این شبیه‌ساز بعنوان نتایج گزارش شده، است.

## ۲- شبیه‌سازی

ایزوترم جذب و داده‌های سینتیکی، مهم‌ترین داده‌های مورد نیاز در مدل کردن هر فرایند جذبی می‌باشد. داده‌های مربوط به ایزوترم جذب به‌ندرت در منابع منتشر شده و داده‌های موجود برای شرایط خاص و جاذب‌های مخصوص می‌باشد. اطلاعات ترموفیزیکی و مشخصات جاذب از دیگر داده‌های مورد نیاز در روند بررسی دقیق فرایند جذب می‌باشد.

### ۲-۱- ایزوترم جذب

مطابق اطلاعات سازنده، جاذب مورد استفاده در ستون‌های جذب از جنس آلومینا F1 می‌باشد. برای به‌دست آوردن ایزوترم جذب این جاذب، از داده‌های تجربی گزارش شده در مراجع استفاده شده است [۲]. این داده‌ها بر حسب رطوبت نسبی در دامنه دمایی  $25^{\circ}\text{C}$ - $50^{\circ}\text{C}$  ارائه شده‌اند. با محاسبه فشار بخار آب در دمای  $50^{\circ}\text{C}$  و اعمال آن در داده‌های تجربی گزارش شده، پارامترهای مدل لانگمویر [۴] برازش شده و تطابق این مدل در پیش‌بینی جذب با داده‌های گزارش شده مقایسه گردید، (شکل (۱)).



شکل (۱): برازش داده‌های تجربی با مدل لانگمویر در دمای  $50^{\circ}\text{C}$  پارامترهای نتیجه از برازش داده‌های تجربی با مدل ایزوترم لانگمویر، در جدول (۲) ارائه شده است.

جدول (۲): پارامترهای مدل لانگمویر برازش شده با داده‌های تجربی

$r^2$	b (1/bar)	q <sub>s</sub> b (gr/100gr.bar)	پارامتر
.99	8/804	229/598	مقدار

ستون‌ها از مقدار مناسبی جاذب آلومینا F1 پر شده‌اند تا دمای نقطه شبنم هوای خروجی را به  $-20^{\circ}\text{C}$ - کاهش دهند. دو ستون به صورت الکنگی و مطابق فرایند فشار‌جاروبی [۳] کار می‌کنند، یعنی در حالیکه یکی از بسترها در فشار بالا در حال جذب است، بستر دیگر در فشاری پایین‌تر، فرایند احیا را طی می‌کند. طول زمان یک چرخه‌ی جذب ۱۰ دقیقه است. جذب طی ۵ دقیقه و احیا در مدت ۴ دقیقه انجام می‌گیرد و در مدت ۱ دقیقه فشار ستون‌ها بین دو مرحله‌ی جذب و دفع تنظیم می‌شود. به بیان دقیق‌تر، پس از پایان فرایند جذب، فشار بستر از  $10/\text{Vbar}$  به حدود  $1/5\text{bar}$  کاهش می‌یابد و در این فشار به مدت ۴ دقیقه احیا می‌شود. پس از پایان فرایند احیا و آماده شدن بستر برای جذب، فشار ستون دوباره به  $10/\text{Vbar}$  افزایش می‌یابد. افزایش فشار با استفاده از جریان هوای خشک شده صورت می‌گیرد و ستون دوباره فرایند جذب را به مدت ۵ دقیقه طی می‌کند. جریان هوای در طول جذب از بالا به پایین و در طول احیا از پایین به بالا می‌باشد. برای احیا از هوای خشک شده بعنوان بخشی از محصول جذب، استفاده می‌شود و جریان خروجی از بستر در حال احیا به محیط تخلیه می‌شود. جدول (۱) اطلاعات طراحی ستون‌های جذب را نشان می‌دهد.

جدول (۱): اطلاعات طراحی ستون‌های جذب

۱/۲m	قطر
۲/۶m	ارتفاع
۱۶۰۰ kg	جرم جاذب در بستر
۵۰.۰°C	دمای جریان ورودی
۱۰/Vbar	فشار عملیاتی جذب
۵۷۶۰.Nm <sup>3</sup> /hr	دبی هوای مرطوب جذب
۱/5bar	فشار عملیاتی احیا
۵۶۷Nm <sup>3</sup> /hr	دبی هوای خشک احیا

برای استفاده از آنالیزورها با توجه به حساسیت این دستگاه‌ها، هوای خشک با نقطه‌ی شبنمی در حدود  $-70^{\circ}\text{C}$ - مورد نیاز است. در حال حاضر به جای هوای مورد استفاده در آنالیزورها از نیتروژن تولیدی در واحد نیتروژن استفاده می‌شود.

هدف این مقاله بررسی قابلیت ستون‌های موجود برای تولید هوای خشک با نقطه‌ی شبنم  $-70^{\circ}\text{C}$ - و در صورت نیاز تغییر در آن‌ها برای رسیدن به هوای خشک با مشخصه مورد نیاز است. برای این منظور ستون‌های جذب شبیه‌سازی شده و قابلیت آنها با نیاز پالایشگاه جهت هوای خشک آنالیزورها مورد تطبیق قرار گرفته است.

برای بررسی چرخه‌ی جذب واحد موجود و نتایج حاصل از

## ۴-۲- سینتیک جذب

در برابر انتقال جرم از فاز گاز به سطح جاذب، سه نوع مقاومت وجود دارد:

۱- مقاومت فیلم خارجی: ذره معلق و قرارگرفته در سیال توسط لایه‌ای از سیال که لایه مرزی آرام است احاطه شده و جزء جذب‌شونده یا دفع شونده باید از میان این فیلم نفوذ کند. ضخامت این لایه و در نتیجه مقاومت در برابر انتقال جرم، تابعی از شرایط هیدرودینامیک سیستم است.

تعییرات ضریب انتقال جرم با شرایط هیدرودینامیک توسط روابط تجربی و به شکل کلی طبق رابطه ۳ ارائه می‌شود.

$$sh = \frac{2k_f R}{D_m} = f(Re, Sc) \quad (3)$$

که  $Re$  و  $Sc$  به ترتیب اعداد رینولدز و اشمتیت هستند که بر مبنای ابعاد ذرات جاذب تعريف و محاسبه شده‌اند. یکی از روابط تجربی که بطور گسترده استفاده می‌شود و برای سیستم‌های گاز و مایعات جواب‌های قابل قبول می‌دهد، رابطه ۴ است [۵]:

$$sh = \frac{2k_f R}{D_m} = 2 + 1.1Sc^{1/3} Re^{0.6} \quad (4)$$

$R$  شعاع ذره و  $D_m$  ضریب نفوذ مولکولی است. برای محاسبه ضریب نفوذ مولکولی روابط متعدد کاربردی و نیمه‌تجربی و داده‌های تجربی در مراجع ارائه و گزارش شده‌است [۶].

۲- نفوذ درشت‌حفره: پدیده انتقال در درشت‌حفره‌ها به چند مکانیزم مختلف صورت می‌گیرد که می‌توان آن را به صورت نفوذ توده‌ای مولکول، نفوذ نودسن، نفوذ سطحی، و جریان پوازوی<sup>۲</sup> دسته‌بندی کرد.

در سیستم‌های مایع، نفوذ توده مولکولی معمولاً عامل تعیین‌کننده بوده ولی در سیستم‌های بخار، نفوذ سطحی و نودسن تاثیرگذار است و اهمیت بیشتری دارد. آنجا که گرادیان فشار در سیستم‌ها پایین است، جریان پوازوی که به علت گرادیان فشار صورت می‌گیرد چندان مهم نیست و تاثیری ندارد.

مولکولی که به دیواره حفره بخورد می‌کند مسیر برگشت قابل پیش‌بینی ندارد و هیچ رابطه‌ای بین زاویه بخورد مولکول به دیوار و زاویه برگشت آن وجود ندارد. این رفتار منجر به مکانیزم نفوذ نودسن می‌شود. شار جریان در نفوذ نودسن متناسب با گرادیان غلظت یا فشار جزئی است و با رابطه ۵ محاسبه می‌شود [۴]:

$$D_k = 9700 r_p \sqrt{\frac{T}{M}} \quad (5)$$

$D_k$ : ضریب نفوذ نودسن،  $\text{cm}^2/\text{s}$

$r_p$ : شعاع حفره،  $\text{cm}$

$T$ : دما،  $\text{K}$

$M$ : جرم مولکولی،  $\text{gr/mole}$

نفوذ نودسن هنگامی مهم می‌شود که تعداد بخورد بین ذره و حفره بیشتر از بخورد بین ذرات نفوذکننده باشد، یعنی قطر حفره کوچک‌تر از مسیر پویش آزاد باشد. چون مسیر پویش آزاد، تابع معکوس از فشار است، با کاهش فشار مکانیزم نفوذ به تدریج از نفوذ مولکولی به نفوذ نودسن تغییر می‌کند. باید دقت داشت که فشاری که در آن رژیم نفوذ تغییر می‌کند تابع قطر حفره است. در فشار محیط، نفوذ نودسن در حفره‌هایی با قطر کمتر از  $10 \text{ nm}$  رخ می‌دهد. در ناحیه میانی که برای اکثر جاذب‌های صنعتی صادق است، هر دو مکانیزم نفوذ موثر است.

تأثیر تلفیق نفوذ نودسن و نفوذ مولکولی با رابطه‌ی معکوس  $6$  تخمین زده می‌شود [۴]:

$$\frac{1}{D_p} = \frac{\tau}{\varepsilon_p} \left( \frac{1}{D_K} + \frac{1}{D_m} \right) \quad (6)$$

۷- ضریب انحنا است و برای اکثر جاذب‌های صنعتی به عنوان حدس اولیه می‌توان مقدار ۳ را در نظر گرفت [۴].

۸- نفوذ ریزحفره: در حفره‌های خیلی کوچک که اندازه قطر حفره به ندرت اندازی بزرگ‌تر از اندازه ذرات است، ذرات از میدان نیروی سطح نمی‌توانند فرار کنند. تحت چنین شرایط اثرات شکل فضایی و ناهمگون در توزیع میدان نیرو مهم می‌شوند و نفوذ نودسن دیگر مطرح نیست، نفوذ توسط مکانیزم حرکت و جهش از یک سایت به سایت دیگر صورت می‌پذیرد و نفوذ تابع دما و غلظت است. شکل کلی رابطه ۷، برای ضریب نفوذ ریزحفره‌ای پیشنهاد شده است [۴]:

$$D_c = D_\infty e^{-E/RT} \quad (7)$$

که انرژی اکتیواسیون یا انرژی لازم برای حرکت از یک سایت به سایت مجاور است.

برای محاسبه ضریب کلی انتقال جرم ( $MTC^4$ ) که تلفیق اثر سه مقاومت ذکر شده را در برابر انتقال جرم نشان می‌دهد،

از رابطه ۸ استفاده شده است [۳]:

$$\frac{1}{MTC} = \frac{R}{3k_f} + \frac{R^2}{15\varepsilon_p D_p} + \frac{r_p^2}{15KD_c} \quad (8)$$

$K$  ثابت هنری بدون بعد است. مقدار جمله سوم با توجه به مقدار صورت کسر که توان دوم شعاع حفره است، ناجیز

است و می‌توان از آن در برابر دو جمله‌ی دیگر چشم‌پوشی کرد. پس رابطه ۸ به رابطه ۹ تبدیل می‌شود.

$$\frac{1}{MTC} = \frac{R}{3k_f} + \frac{R^2}{15\epsilon_p D_p} \quad (9)$$

### ۳-۳- شبیه‌سازی بستر آلومینا F1

برای بررسی عملکرد و قابلیت ستون موجود در واحد تولید هوای ابزار دقیق، بستری از جاذب به وزن ۱۶۰۰ kg به صورت متناظر دوره جذب و احیا را طی می‌کند، شبیه‌سازی شده است.

فرضیاتی که برای شبیه‌سازی سیستم در شبیه‌ساز ADSIM به کار رفته، عبارتند از:

- ۱- خوراک ورودی فقط شامل هوا و آب منظور شده و از سایر مواد موجود در هوا چشم‌پوشی شده است. در ضمن هوا به صورت یک ماده تک‌جزئی معرفی شده است.
- ۲- فرایند جذب تک‌جزئی در نظر گرفته شده است و از جذب اجزای هوا چشم‌پوشی شده است، یعنی "جذب" تنها درباره جذب آب در نظر گرفته شده است.

۳- با توجه به ضریب تراکم‌پذیری هوا ورودی در شرایط عملیاتی به میزان ۰/۹۹۵ kg/m³، برای پیش‌بینی رفتار جریان خوراک از قانون گاز ایده‌آل استفاده شده است.

۴- بستر، یک بعدی و در جهت محور مدل شده است. این فرض با توجه به دبی بالای خوراک و جریان در بستر آنکه، منطقی می‌باشد. برای مدل کردن، محور طولی به ۲۰ نقطه تقسیم شده است.

۵- از افت فشار در طول بستر صرف‌نظر و فشار بستر ثابت فرض شده است.

۶- با توجه به فرض ثابت بودن فشار و پایین بودن میزان رطوبت در خوراک، تغییرات سرعت در اثر جذب اندک می‌باشد که در نتیجه سرعت نیز ثابت فرض می‌شود.

۷- برای مدل سینتیکی فرض‌های الف تا ج لحاظ شده‌اند:  
الف- انتقال جرم بر اساس فیلم جامد بیان می‌شود.

ب- برای بیان رابطه‌ی انتقال جرم از فرم خطی استفاده می‌شود.

ج- ضریب انتقال جرم به صورت کلی و ثابت فرض شده است.

$$\frac{\partial q}{\partial t} = MTC(q^* - q) \quad (10)$$

ضریب انتقال جرم کلی ۱/s: MTC

\*: بارگیری جاذب در تعادل با سیال با غلظت Kmole

of adsorbate/kg of adsorbent

q: بارگیری در جاذب، Kmole of adsorbate/kg of

- adsorbent  
 ۸- ضریب انتقال جرم در فرایند دفع با مقدار ضریب انتقال جرم در فرایند جذب مساوی فرض شده است.  
 ۹- از مدل جذب لانگمویر برای پیش‌بینی جذب استفاده شده است.

$$q = \frac{q_s bP}{1+bP} \quad (11)$$

- ۱۰- سیستم هم‌دمای فرض شده است که با توجه به طبیعت فرایندهای PSA و زمان کوتاه عملیات، منطقی است [۲].  
 ۱۱- از هوای کاملاً خشک برای احیا استفاده شده است.

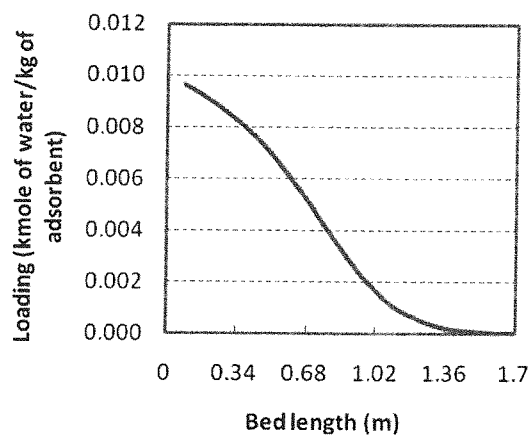
عملیات برای شبیه‌سازی فرایند مطابق با بدترین شرایط در نظر گرفته شده است. دمای هوای ورودی به ستون برابر با بیشینه دمای مجاز طراحی، ۵۰°C، فرض شده و هوا در این دما در فشار عملیاتی ۱۰۰/Vbar اشباع از آب در نظر گرفته شده است، به بیان دیگر، رطوبت نسبی هوای ورودی به بستر جذب در شرایط عملیاتی ۱۰۰٪ می‌باشد. این اطلاعات و سایر اطلاعات فیزیکی جاذب Alumina F1 در جدول (۳) ارائه شده است [۶].

جدول (۳): مشخصات و شرایط عملیاتی بستر شبیه‌سازی شده

مشخصات بستر	
۱/Vm	H <sub>b</sub> , طول
۲m	D <sub>b</sub> , قطر
۰/۲۵	ε <sub>b</sub> , تخلخل بستر
مشخصات جاذب	
۸۲۲kg/m³	چکالی، ρ
۰/۰۰۲m	شعاع دانه‌های جاذب، R
۹nm	قطر متوسط حفره، r <sub>p</sub>
۰/۰۲	تخلخل درون جاذب، ε <sub>p</sub>
۱/۸۸×۱۰⁻۴/s	ضریب انتقال جرم، MTC
شرایط عملیاتی جذب	
۰/۰۷۳۱Kmole/s	دبی هوا
۲۲۲/۱۵K	دما، T
۱۰/Vbar	فشار، P
۰/۰۱۱۲۰۷	جزء‌مولی بخار آب
۰/۹۸۸۶۹۳	جزء‌مولی هوا
شرایط عملیاتی احیا	
۰/۰۰۷۰۲۷Kmole/s	دبی هوا
۲۲۲/۱۵K	دما، T
۱/۵bar	فشار، P
.	جزء‌مولی بخار آب
۱	جزء‌مولی هوا

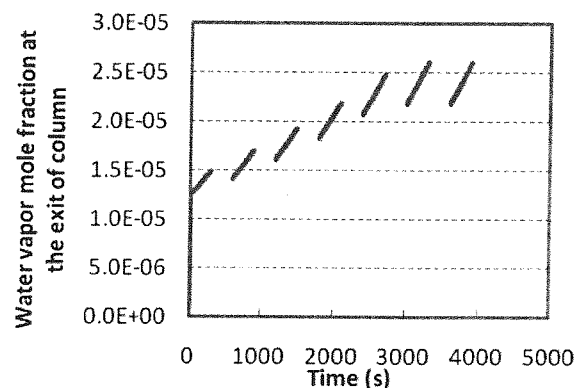
سیستم شبیه‌سازی شده بطور دقیق مانند ستون واقعی عمل می‌کند. بستر جذب ابتدا به مدت ۵ دقیقه در فشار ۱۰/Vbar فرایند جذب را پشت سر می‌گذارد، به دنبال این مرحله، شیر ورودی خوراک بسته می‌شود ولی شیر خروجی همچنان باز

شبنم هوای فراوری شده به مقدار مورد نظر در طراحی در یک سوم انتهایی بستر صورت می‌گیرد.



شکل (۳): شارژ باقیمانده در بستر پس از عملیات احیا در مرحله هفتم

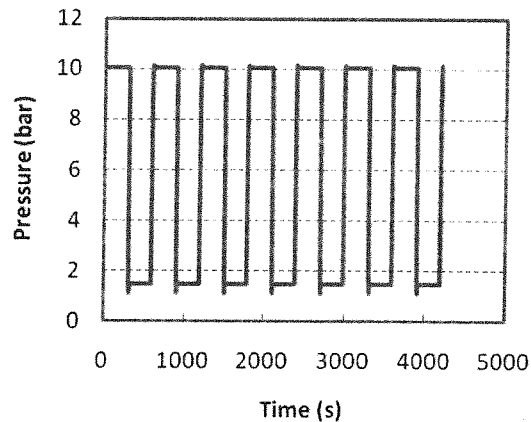
با ثبات پروفایل شارژ باقیمانده در بستر، پروفایل تغییرات جزء مولی بخار آب در هواخشک خروجی نیز در چرخه های متوالی جذب ثابت می ماند. این حالت، پایدار شدن عملکرد چرخه جذب نامیده می شود. شکل (۴) تغییرات جزء مولی بخار آب در هواخشک از بستر جذب در چرخه های متوالی را نشان می دهد که پس از ۶ چرخه به حالت پایدار رسیده است. عملکرد سیستم فرایندی PSA پس از این به صورت یکنواخت می باشد و پروفایل تغییرات جزء مولی بخار آب در هواخشک خروجی از بستر ثابت می ماند.



شکل (۴): تغییرات جزء مولی آب در هواخشک خروجی از ستون در چرخه های جذب متوالی تا رسیدن به حالت پایدار جزء مولی بخار آب در پایان مرحله جذب چرخه هفتم برابر با  $2.6 \times 10^{-5}$  است. نقطه شبنم متناظر با این مقدار از بخار آب در هوا تقریباً برابر با  $-24^{\circ}\text{C}$  می باشد. جدول (۴) جزء مولی بخار آب و دمای شبنم متناظر را در پایان مرحل جذب تا رسیدن به حالت پایدار نشان می دهد.

است و هوای باقیمانده در بستر را به بیرون تخلیه می کند تا فشار را تا  $1/5\text{bar}$  کاهش دهد. در این فشار مرحله احیا آغاز می شود. جریان احیا عکس جریان جذب است، یعنی جذب از بالا به پایین در طول بستر انجام می شود ولی در هنگام احیا جهت جریان عکس می شود و جریان هوا احیا کننده از پایین به بالاست. این روش باعث می شود که رطوبت جذب شده از چرخه قبل (شارژ باقیمانده) در انتهای خروجی بستر (بر اساس جهت جریان در هنگام جذب) کمتر شود و در نتیجه خلوص محصول بدست آمده در جذب چرخه بعدی بیشتر خواهد بود. بستر پس از احیا و تنظیم فشار با محصول و رسیدن به فشار  $10/7\text{bar}$  دوباره وارد مرحله جذب و چرخه بعدی می شود. شکل (۲) تغییرات فشار در بستر را به هنگام چرخه های متوالی نشان می دهد.

پس از احیا، همچنان مقداری از بخار آب جذب شده در مرحله جذب قبلی، در بستر باقی می ماند و بخشی از ظرفیت بستر برای جذب بخار آب از جریان هوا ورودی در دسترس نخواهد بود و همین مساله باعث افزایش تدریجی جزء مولی آب و در نتیجه افزایش نقطه شبنم هواخشک تولیدی در چرخه بعدی می شود.



شکل (۲): تغییرات فشار در بستر در چرخه های متوالی جذب حالت های متفاوتی برای ترتیب جریان های جذب و احیا وجود دارد و هر ترتیبی مشخصه شارژ باقیمانده خود را در بستر باقی می گذارد [۳]. شکل (۲) شارژ باقیمانده پس از مرحله احیا در چرخه هفتم را نشان می دهد. از ویژگی های چرخه های PSA بار عملیاتی کم و شارژ باقیمانده بالا می باشد [۳]. در شکل (۲) بهوضوح پیداست که شارژ باقیمانده در بستر بسیار بالاست و در عمل ظرفیت عملیاتی جاذب برای جذب بخار آب از جریان هوا پایین است. شرایط عملیاتی و شرایط بستر به گونه ای است که جداسازی توده ای بخار آب در دوسوم ابتدایی بستر انجام می گیرد و خالص سازی و رساندن نقطه

جدول (۴): جزء مولی بخارآب و نقطه شبنم متناظر با آن در لحظه

پایانی ۷ مرحله و رسیدن به حالت پایدار

شماره سیکل	جزء مولی بخارآب	نقطه شبنم °C
۱	$1/51 \times 10^{-5}$	-۴۰
۲	$1/71 \times 10^{-5}$	-۲۸
۳	$1/94 \times 10^{-5}$	-۳۷
۴	$2/20 \times 10^{-5}$	-۳۶
۵	$2/48 \times 10^{-5}$	-۳۵
۶	$2/60 \times 10^{-5}$	-۳۴
۷	$2/61 \times 10^{-5}$	-۳۴

نیاز پالایشگاه به هوایی با نقطه شبنم پایین‌تر با توجه به طراحی برج جذب مورد استفاده، برطرف نمی‌شود. جزء مولی متناظر با نقطه شبنم  $-70^{\circ}\text{C}$  - برابر با  $\frac{2}{3} \times 10^{-7}$  است. همان‌گونه که در شکل ۵ نشان داده شده، این مقدار تنها در چند ثانیه آغاز نخستین چرخه جذب قابل دستیابی است و در چرخه‌های بعدی با وجود شارژ باقیمانده در بستر دیگر در لحظات نخستین نیز بدست نمی‌آید. هرچند که در صنعت چرخه‌های با زمان عملکرد پایین متداول است ولی طراحی بستر مورد مطالعه و ماهیت جاذب مورد استفاده به‌گونه‌ای است که در این مورد چنین امکانی وجود ندارد.

داده‌های گزارش شده از نقطه شبنم هوای خروجی از ستون‌های خشککن در جدول (۵) آمده‌است. این داده‌ها در شرایطی مقاومت از شرایط شبیه‌سازی بدست آمده‌اند ولی همگی در محدوده‌ای نزدیک و زیر  $-20^{\circ}\text{C}$  - می‌باشند.

جدول (۵): داده‌های عملیاتی از نقطه شبنم خروجی از خشککن در  
تاریخ ۸۶/۰۶/۰۴

ساعت اندازه‌گیری	نقطه شبنم (°C)	دماهی هوای ورودی (°C)
۲:۰۰ pm	-۳۱/۱	۴۲
۴:۰۰ pm	-۳۱/۸	۴۲
۶:۰۰ pm	-۳۲/۲	۴۲
۸:۰۰ pm	-۳۱	۴۲
۱۰:۰۰ pm	-۲۸/۸	۴۴
۱۲:۰۰ pm	-۲۷	۴۲

#### ۴-۴- اصلاح فرایند

نتایج بدست آمده در بخش [۳-۲] نشان می‌دهد که دستیابی به نقطه شبنم  $-70^{\circ}\text{C}$  - با ستون‌های موجود در واحد عملیاتی امکان‌پذیر نیست و برای رسیدن به چنین نقطه شبنمی در خروجی ستون باید تغییراتی در واحد ایجاد کرد. چندین

راه حل می‌توان برای اصلاح واحد ارائه کرد:

۱- می‌توان از جداسازی آبشاری استفاده کرد به این معنی که بستر دیگری به train اضافه کرد تا هوایی که در بسترهای قبلی نقطه شبنم آن تا  $-20^{\circ}\text{C}$  - کاهش یافته است با فراوری بیشتر به درجه خلوص بالاتری برسد.

۲- افزایش مقدار جاذب مورد استفاده در ستون‌ها با توجه به ثابت بودن حجم ستون، استفاده از ستون‌های بلندتر و با حجم بیشتر پیشنهاد می‌گردد.

۳- تغییر جاذب مورد استفاده در ستون.

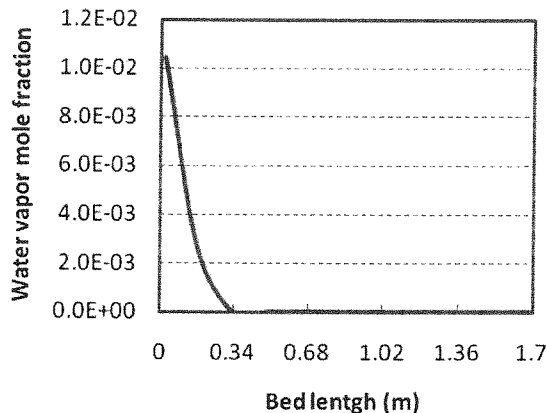
راه حل ۱ و ۲ مستلزم تغییرات ساختاری در واحد است که چندان مطلوب نیست. بنابراین استفاده از راه حل سوم رویکرد مناسبی برای حل این مساله است. برای دستیابی به نقاط شبنم پایین‌تر، بهترین جاذب‌ها زئولیت‌ها هستند[۲]. زئولیت 4A معمولترین جاذب مورد استفاده در خشککن‌های صنعتی است. جذب بخارآب بر روی این جاذب شدید است، از سوی دیگر با توجه به فلسفه فرایند PSA پاییزی از جاذبی استفاده کرد که ایزووترم جذب نسبتاً ضعیفی داشته باشد تا به راحتی در فشار پایین‌تر احیا شود[۲]، بنابراین استفاده از جاذب زئولیت چندان مناسب نیست. به نظر می‌رسد راه حل بهتری می‌توان پیشنهاد کرد:

۴- استفاده از دو نوع جاذب در بستر.

می‌توان بخشی از جاذب آلومینا F1 در انتهای بستر را با جاذب زئولیت 4A جایگزین کرد (حالی بین راه حل ۱ و ۳). بدین‌ترتیب جداسازی توده‌ای در ابتدای بستر و با آلومینا F1 انجام می‌شود و پس از کاهش جزء مولی بخارآب در انتهای این لایه، جداسازی بیشتر در انتهای بستر بر روی جاذب زئولیت 4A انجام می‌شود. به عبارت دیگر هوایی که با عبور از روی جاذب آلومینا در صد بیشتری از رطوبت خود را از دست داده، وارد بستر زئولیت می‌شود و به نقاط شبنم پایین‌تری می‌رسد. در این حالت بارگیری جاذب زئولیت کم است و به خوبی احیا خواهد شد.

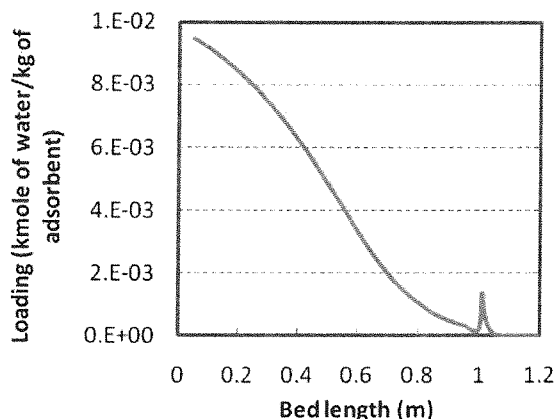
برای بدست آوردن میزان زئولیت 4A که باید جایگزین بخشی از جاذب آلومینا F1 شود، ابتدا جذب بر روی بستر زئولیت 4A مورد مطالعه قرار می‌گیرد.

برای شبیه‌سازی فرایند جذب، نخستین داده مورد نیاز ایزووترم جذب است. شکل (۵) داده‌های تعادلی جذب بخارآب بر روی زئولیت 4A را در مقایسه با مدل لانگمویر برآش شده با این داده‌ها نشان می‌دهد[۲] و پارامترهای بدست آمده از برآش داده‌های تجربی با مدل ایزووترم لانگمویر در جدول (۶) ارائه شده‌است.



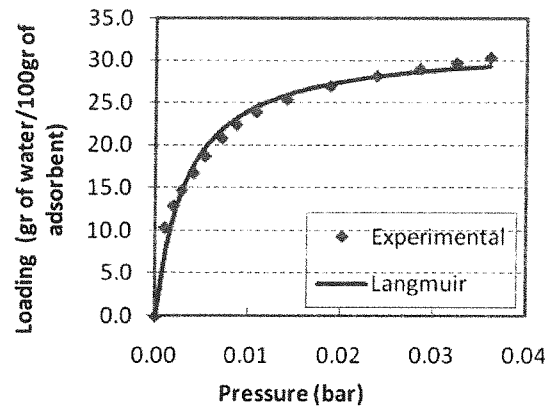
شکل (۶): پروفایل جزء مولی بخار آب در طول بستر جذب زئولیت ۴A در زمان ۳۰۰s

شکل (۷) شارژ باقیمانده در بستر پس از پایان احیا مرحله هشتم را نشان می دهد. شارژ باقیمانده در بستر میزان بالای دارد که مطابق با ویژگی های فرایند PSA است. در پایان لایه آلومینا و شروع لایه زئولیت، افزایشی در بارگیری رخ می دهد که علت آن، طبیعت جاذب زئولیت است. ایزو ترم جذب زئولیت ۴A به گونه ای است که در فشار جزئی پایین نیز میزان بارگیری بالای دارد.



شکل (۷): شارژ باقیمانده در بستر دو لایه پس از عملیات احیا در مرحله هشتم

در پایان این مرحله جزء مولی بخار آب  $4/85 \times 10^{-11}$  می باشد و نقطه شبنم آن به مراتب کمتر از  $-70^{\circ}\text{C}$  است (شکل (۸)). ستون پس از ۸ مرحله به حالت پایدار می رسد. جزء مولی بخار آب در پایان هر کدام از ۸ مرحله در جدول (۸) آمده است.



شکل (۵): مدل لانگمویر در پیش بینی جذب با داده های تجربی در دما ۲۵°C

جدول (۶): پارامتر های مدل لانگمویر، برآورد شده با داده های تجربی

$r^2$	b (1/bar)	$q_s b$ (gr/100gr.bar)	پارامتر
۰.۹۹	۳.۴/۹۱۲	۹۷۳۱/۶۸۸	مقادیر

فرض هایی که در شبیه سازی فرایند جذب بر روی جاذب زئولیت ۴A به کار رفته اند مطابق با فرض های استفاده شده در بخش [۲-۲] هستند. مشخصات جاذب زئولیت ۴A [۶] و بستر شبیه سازی شده در جدول (۷) ارائه شده است.

جدول (۷): مشخصات بستر و جانب

مشخصات جاذب و بستر	
$640 \text{ kg/m}^3$	چگالی، $\rho$
۰.۰۰۲m	شعاع رانه های جاذب، R
۰.۴nm	قطر متوسط حفره، $r_p$
۰.۳۵	تخلخل بستر، $\epsilon_b$
۰.۲۲	تخلخل درون جاذب، $\epsilon_p$
$2/48 \times 10^{-4}/\text{s}$	ضریب انتقال جرم، MTC

پروفایل غلظت بخار آب در طول بستر در لحظه ۳۰۰s نشان می دهد در بستری به طول ۲۴cm جزء مولی در خروجی بستر به زیر مقدار مورد نظر جهت دستیابی به نقطه شبنم  $-70^{\circ}\text{C}$  می رسد (شکل (۶)). در این نقطه از بستر جزء مولی بخار آب در حدود  $5/2 \times 10^{-8}$  است که از مقدار متناظر با نقطه شبنم  $-70^{\circ}\text{C}$  یک مرتبه بزرگی، کوچکتر می باشد. بنابراین به عنوان یک گزینه ای اولیه برای ابعاد ستون دو لایه ای، طول لایه ای آلومینا F1 یک متر و طول لایه زئولیت ۴A برابر  $2/2\text{m}$  انتخاب می شود، یعنی طول بستر از  $1/7\text{m}$  به  $1/2\text{m}$  کاهش می یابد. هوای مرطوب و رویدی به ستون ابتدا در تماس با جاذب آلومینا F1 بخش اعظم رطوبت خود را از دست می دهد و در ادامه بستر و در روی زئولیت ۴A به درجه های بالاتر جداسازی می رسد.

بستر جذب با دو لایه جاذب متفاوت مورد بررسی قرار گرفت و چرخه جذب مطابق با مشخصات جدید شبیه‌سازی شد. نتایج بدست آمده از شبیه‌سازی‌ها نشان‌دهنده آنست که روش بستر دولایه‌ای با کمترین هزینه در واحد که شامل جایگزینی بخشی از جاذب آلومنیا F1 با جاذب زئولیت 4A است، تولید هوای خشک با نقطه شبنم  $-70^{\circ}\text{C}$  را امکان‌پذیر می‌سازد.

#### ۴- ضمیمه

برای مدل‌سازی فرایند جذب، بایستی موازن‌های جرم و انرژی و مومنتوم برای المان کوچکی از سیستم نوشته شوند. با نوشتتن این موازن‌ها، معادله‌های دیفرانسیلی به‌دست می‌آید که باید با استفاده از تکنیک‌های حل عددی به صورت همزمان حل شوند.

برای بستر استوانه‌ای، با فرض یکنواخت بودن توزیع غلظت و بارگیری در راستای محور شعاعی، معادلات دیفرانسیلی جرم و انرژی به صورت روابط ۱۲ تا ۱۷ خواهد بود:

$$1-\text{ معادله دیفرانسیلی موازن‌های جرم} [1]:$$

$$-D_L \frac{\partial^2 C}{\partial z^2} + v \frac{\partial C}{\partial z} + \frac{\partial C}{\partial t} + \left( \frac{1-\varepsilon}{\varepsilon} \right) \frac{\partial q}{\partial t} = 0 \quad (12)$$

با شرایط مرزی:

$$\begin{cases} B.C.1: D_L \frac{\partial C}{\partial z} \Big|_{z=0} = -v(C_{inlet} - C|_{z=0}) \\ B.C.2: D_L \frac{\partial C}{\partial z} \Big|_{z=L} = 0 \end{cases} \quad (13)$$

و شرایط اولیه:

$$C(z, 0) = f(z) \quad (14)$$

که  $D_L$  ضریب پراکندگی محوری و  $v$  سرعت در جهت محور  $z$  است.

$$2-\text{ معادله دیفرانسیلی موازن‌های انرژی} [1]:$$

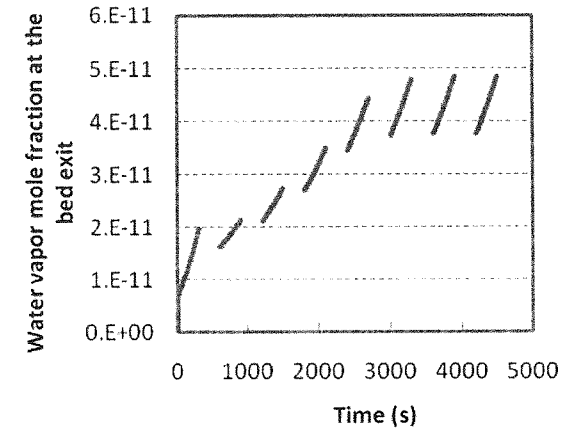
$$\begin{aligned} -K_L \frac{\partial^2 T}{\partial z^2} + v \rho_g c_g \frac{\partial T}{\partial z} + \left( \rho_g c_g + \frac{1-\varepsilon}{\varepsilon} \rho_s c_s \right) \frac{\partial T}{\partial t} \\ + \left( \frac{1-\varepsilon}{\varepsilon} \right) (-\Delta H_{ads}) \frac{\partial q}{\partial t} = 0 \end{aligned} \quad (15)$$

با شرایط مرزی:

$$\begin{cases} B.C.1: K_L \frac{\partial T}{\partial z} \Big|_{z=0} = -v \rho_g c_g (T_{inlet} - T|_{z=0}) \\ B.C.2: K_L \frac{\partial T}{\partial z} \Big|_{z=L} = 0 \end{cases} \quad (16)$$

و شرایط اولیه:

$$T(z, 0) = g(z) \quad (17)$$



شکل (۸): تغییرات جزء‌مولی آب در هوای خروجی از ستون بستر دولایه در چرخه‌های جذب متوالی تا رسیدن به حالت پایدار

جدول (۸): جزء‌مولی بخار آب و نقطه شبنم متناظر با آن در لحظه پایانی ۸ مرحله و رسیدن به حالت پایدار

شماره سیکل	جزء‌مولی بخار آب	نقطه شبنم $^{\circ}\text{C}$
۱	$1.97 \times 10^{-11}$	کمتر از $-70$
۲	$2.12 \times 10^{-11}$	کمتر از $-70$
۳	$2.74 \times 10^{-11}$	کمتر از $-70$
۴	$2.49 \times 10^{-11}$	کمتر از $-70$
۵	$4.44 \times 10^{-11}$	کمتر از $-70$
۶	$4.80 \times 10^{-11}$	کمتر از $-70$
۷	$4.84 \times 10^{-11}$	کمتر از $-70$
۸	$4.85 \times 10^{-11}$	کمتر از $-70$

### ۳- بحث و نتیجه‌گیری

برای بررسی عملکرد سیستم طراحی شده توسط شرکت AirPack، ستون جذبی با مشخصات و جزئیات فرایندی جذب PSA توسط نرم‌افزار ADSIM (از مازول‌های ابزار دقيق و بررسی نتایج نشان داد که طراحی این سیستم برای تولید پایایی هوای خشک با نقطه شبنم کمتر از  $-20^{\circ}\text{C}$  مناسب است.

استفاده از ستون‌های طراحی شده برای تولید هوایی با نقطه شبنم  $-70^{\circ}\text{C}$  - امکان‌پذیر نمی‌باشد و در هیچ زمانی از مرحله جذب، جزء‌مولی بخار آب در هوای خروجی به میزان متناظر با نقطه شبنم  $-70^{\circ}\text{C}$  نمی‌رسد.

برای تولید هوایی با این مشخصات، بایستی تغییراتی در خشککن‌ها صورت گیرد. از میان گزینه‌های متفاوت، استفاده از

که  $K_L$  ضریب موثر هدایت حرارتی محوری،  $\Delta H_{ads}$  گرمای جذب، و  $c_s$ ،  $\rho_s$  و  $c_g$  خواص فیزیکی جاذب و سیال است.

برای موازنی مومنتوم در فاز گاز می‌توان از روابط نیمه‌تجربی محاسبه افت فشار نظیر معادله Ergun و یا استفاده کرد [۱] Karman-Kozeny.

## ۵- مراجع

Aspen Engineering Suite 11.1, "Aspen ADSIM User Manual", 2001. [۱]

Auerbach, Scott M.; Carrado, Kathleen A. and Dutta, Prabir K, "Handbook of Zeolite Science and Technology", 1<sup>st</sup> Edition, Marcel Decker Inc., 2003. [۲]

Douglas M. Ruthven, "Encyclopedia of Separation Technology; A Kirk Othmer Encyclopedia", 1<sup>st</sup> Edition, V1, John Wiley & Sons, 1997. [۳]

Doung D. Do, "Adsorption Analysis: Equilibria and Kinetics", 1<sup>st</sup> Edition, V2, Imperial College Press, 1998. [۴]

N. S. Raghavan and D. M. Ruthven, "Dynamic Behavior of an Adsorption Column-II", Chemical Engineering Science, Vol 39, p.p. 877-884, 1984. [۵]

Perry, Robert H. and Green, Don W., "Perry's Chemical Engineers' Handbook", 7<sup>th</sup> Edition, McGraw Hill, 1999. [۶]

## ۶- زیرنویس‌ها

Pressure Swing Adsorption (PSA)<sup>۱</sup>

Knudsen<sup>۲</sup>

Poiseulle<sup>۳</sup>

Mass Transfer Coefficient<sup>۴</sup>